

А К А Д Е М И Я Н А У К С С С Р
СИБИРСКОЕ ОТДЕЛЕНИЕ
А В Т О М Е Т Р И Я

№ 5

1987

ОБРАБОТКА И ХРАНЕНИЕ ИНФОРМАЦИИ
ОПТИЧЕСКИМИ МЕТОДАМИ

УДК 772.99 : 681.327.5

В. А. ДОМБРОВСКИЙ

(Новосибирск)

СТАТИСТИКА ПЕРЕКРЕСТНЫХ ПОМЕХ ГОЛОГРАММ В ГЗУ

Плотность записи в голограммических ЗУ ограничивается линейными [1—5] и нелинейными [6, 7] перекрестными шумами, несовершенством регистрирующей среды [8, 9] и аберрациями оптической системы [10, 11]. Для оценки максимальной плотности записи при заданной достоверности чтения необходимо знать статистические характеристики восстановленного изображения [12]: контраст $K = \bar{P}^1/\bar{P}^0$, отношение сигнал/шум (C/W)^{1,0} = $\bar{P}^{1,0}/\sqrt{D[\bar{P}^{1,0}]}$ ($\bar{P}^{1,0}$, $D[\bar{P}^{1,0}]$ — среднее значение и дисперсия мощности оптических «единиц» P^1 и «нулей» P^0).

В [5, 7—9] получены статистические характеристики восстановленного изображения и даны оценки достоверности чтения с учетом нелинейности [7] и шума рассеяния [8] регистрирующей среды, перекрестных дифракционных помех [5] и микродефектов на фурье-голограмме [9].

Однако остается недостаточно изученной статистика линейных перекрестных помех голограмм (ППГ). Эти помехи обусловлены восстановлением изображений из соседних голограмм периферийными участками гауссова восстанавливющего пучка.

Цель работы — исследование влияния перекрестных помех голограмм на статистические характеристики восстановленного изображения, а также на достоверность чтения в зависимости от плотности записи, соотношения размеров восстанавливющего пучка и голограммы и аберраций восстанавливющего пучка.

Предположим, что запись и восстановление фурье-голограмм производятся в традиционной оптической схеме ГЗУ [1]. В приближении линейной регистрации тонкой амплитудной голограммы и гауссовых сигнального, опорного и восстанавливющего пучков выражение для мощности v , μ -го информационного пучка, восстановленного из i , j -й голограммы, при считывании центральной голограммы в соответствии с [5] имеет вид

$$P_{i,j} = \eta_{ri,j} |A_{i,j; v,\mu}|^2 T_{i,j}, \quad (1)$$

где

$$T_{i,j} = \exp \left\{ -\frac{2q}{w_b^2} [(ih - \xi_0)^2 + (jh - \eta_0)^2] \right\}; \quad (2)$$

$$q = 1 - \frac{W^2}{w_b^2}; \quad \frac{1}{W^2} = \frac{1}{w_c^2} + \frac{1}{w_0^2} + \frac{1}{w_b^2}; \quad w_c, w_0, w_b \text{ и } W —$$

радиусы сигнального, опорного, восстанавливющего и восстановленного пучков на уровне e^{-2} по интенсивности в плоскости голограммы; h — расстояние между голограммами; ξ_0 и η_0 — смещения восстанавливющего пучка с голограммы по координатам ξ и η ; $\eta_{ri,j}$ — дифракционная эффективность i , j -й голограммы в матрице; $A_{i,j,v,\mu}$ — амплитуда v , μ -го сигнального пучка, восстановленного из i , j -й голограммы. В вы-

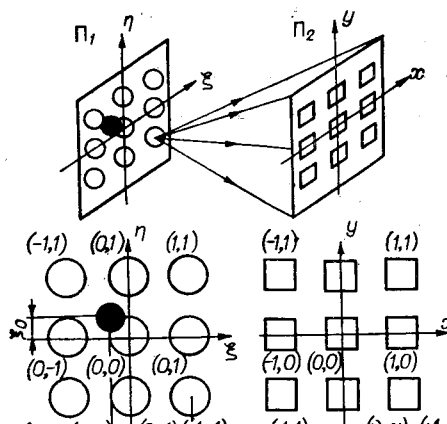


Рис. 1. Схема восстановления голограммы:
Π₁ — плоскость матрицы голограмм; Π₂ — плоскость восстановленного изображения

ражении (1) несущественные константы опущены. Принятые обозначения поясняются на рис. 1.

Мощность сигнального пучка, восстановленного из центральной ($i, j = 0$) голограммы,

$$P_{0,0}^{1,0} = \eta_{r0,0} |A_{0,0;v,\mu}^{1,0}|^2 T_{0,0}. \quad (3)$$

Верхние индексы в (3) показывают, что оптическая «единица» или

Параметры η_r , A , ξ_0 , η_0 , входящие в выражение (1), являются случайными величинами. Разброс дифракционной эффективности η_r голограмм в матрице обусловлен неравномерностью усадки эмульсии по голографической пластинке после ее обработки, нестабильностью мощности лазерного пучка при записи голограмм [13]. Флуктуации амплитуды сигнального восстановленного пучка A вызваны разбросом пропускания ячеек управляемого транспаранта, неравномерностью его освещения, перекрестными шумами [4—7]. Погрешность адресации восстанавливаемого пучка ξ_0 , η_0 связана с aberrациями оптической системы, с угловой нестабильностью диаграммы направленности лазерного пучка и т. д. [14]. Таким образом, и мощность $P_{i,j}$, равная произведению этих параметров,— случайная величина. Для того чтобы найти статистические параметры сигнала и перекрестной помехи (математическое ожидание $M[\cdot]$ и дисперсию $D[\cdot]$), воспользуемся теоремами о числовых характеристиках случайных величин [15]. В предположении, что параметры η_r , A , $T_{i,j}$ являются независимыми случайными величинами для математического ожидания $M[P_{i,j}]$ и дисперсии $D[P_{i,j}]$ мощности $P_{i,j}$ сигнального пучка, восстановленного из i, j -й голограммы, получим

$$\begin{aligned} M[P_{i,j}] &= M[\eta_r]M[|A|^2]M[T_{i,j}]; \\ D[P_{i,j}] &= (D[\eta_r]D[|A|^2] + D[\eta_r]M^2[|A|^2] + M^2[\eta_r]D[|A|^2]) \times \\ &\quad \times (M^2[T_{i,j}] + D[T_{i,j}]) + D[T_{i,j}]M^2[\eta_r]M^2[|A|^2]. \end{aligned} \quad (6)$$

Здесь усреднение проводится по всем голограммам в матрице (индексы k, l), элементам в восстановленном изображении (v, μ), а также по положению считающего пучка на голограмме (ξ_0, η_0):

$$M[\eta_r] = \frac{1}{n} \sum_{k,l} \eta_{k,l}; \quad M[|A|^2] = \frac{1}{nm} \sum_{k,l} \sum_{v,\mu} |A_{k,l;v,\mu}|^2;$$

n и m — соответственно количество голограмм в матрице и разрядных ячеек в странице. Через коэффициент вариации ($\sigma_x = \sqrt{D[x]} / M[x]$) пос-

леднее выражение перепишется в виде

$$D[P_{i,j}] = M^2 [P_{i,j}] \{(\sigma_\eta^2 \sigma_A^2 + \sigma_A^2 + \sigma_\eta^2)(1 + \sigma_{Ti,j}^2) + \sigma_{Ti,j}^2\}. \quad (7)$$

Предположим, что вероятность найти в рассматриваемой ячейке транспаранта оптическую «единицу» ($|A^1|^2 = I^1$) равна Q , а «нуль» ($|A^0|^2 = I^0$) — соответственно $(1 - Q)$. Тогда

$$M[|A|^2] = QM[I^1] + (1 - Q)M[I^0], \quad (8)$$

$$\begin{aligned} a \\ D[|A|^2] &= M[|A|^4] - M^2[|A|^2] = QD[I^1] + \\ &+ (1 - Q)D[I^0] + Q(1 - Q)(M[I^1] - M[I^0])^2. \end{aligned} \quad (9)$$

Обычно $M[I^1] \gg M[I^0]$, $D[I^1] \gg D[I^0]$. В этом случае (8) и (9) преобразуются в

$$M[|A|^2] = QM[I^1]; \quad (10)$$

$$D[|A|^2] = QD[I^1] + Q(1 - Q)M^2[I^1]. \quad (11)$$

Из (10) и (11) коэффициент вариации

$$\sigma_A = \frac{\sqrt{D[|A|^2]}}{M[|A|^2]} = \frac{1}{\sqrt{Q}} \sqrt{(\sigma^1)^2 + 1 - Q}, \quad (12)$$

где $\sigma^1 = \sqrt{D[I^1]/M[I^1]}$ — коэффициент вариации мощности оптической «единицы» в восстановленном изображении без учета перекрестной помехи голограмм.

Определим теперь математическое ожидание $M[T_{i,j}]$ и коэффициент вариации $\sigma_{Ti,j}$. Параметр $T_{i,j}$, как следует из (2), зависит от смещений ξ_0 и η_0 восстанавливавшего пучка относительно голограммы соответственно по координатам ξ и η . Если известны функции φ_ξ и φ_η распределения плотности вероятности случайных величин ξ_0 и η_0 соответственно, то для моментов n -го порядка случайной величины $T_{i,j}$ имеем

$$M[T_{i,j}^n] = \int_{-\infty}^{+\infty} \int_{-\infty}^{+\infty} T_{i,j}^n \varphi_\xi \varphi_\eta d\xi_0 d\eta_0. \quad (13)$$

Пусть функции плотности вероятности случайных величин ξ_0 и η_0 подчиняются нормальным законам

$$\varphi_\xi = \frac{1}{\sqrt{2\pi D_\xi}} \exp\left\{-\frac{(\xi_0 - M_\xi)^2}{2D_\xi}\right\}; \quad \varphi_\eta = \frac{1}{\sqrt{2\pi D_\eta}} \exp\left\{-\frac{(\eta_0 - M_\eta)^2}{2D_\eta}\right\}. \quad (14)$$

Здесь $M_\xi = M[\xi_0]$, $D_\xi = D[\xi_0]$. Подставляя (2), (14) в (13) и выполняя интегрирование по ξ_0 и η_0 , в предположении $D_\xi = D_\eta$ получим

$$M[T_{i,j}^n] = R_\Pi^{-1} \exp\left\{-\frac{n\Delta}{2R_\Pi} \left[\left(\delta_\xi - i\frac{\beta_H}{L}\right)^2 + \left(\delta_\eta - j\frac{\beta_H}{L}\right)^2 \right]\right\}, \quad (15)$$

где $\Delta = 16\left(1 - \frac{1}{L^2}\right)$; $R_\Pi = 1 + n\Delta\sigma_\xi^2$; $L = \frac{w_B}{W}$ — отношение радиусов восстанавливающего и восстановленного пучков; $\beta_H = h/2W$ — скважность голограмм в матрице; $\delta_\xi = M_\xi/2w_B$, $\delta_\eta = M_\eta/2w_B$ и $\sigma_\xi = \sqrt{D_\xi}/2w_B$ — относительные средние и относительное среднеквадратическое отклонение смещения восстанавливающего пучка с голограммы. С учетом (15) математическое ожидание $M[T_{i,j}]$ и коэффициент вариации $\sigma_{Ti,j}$ запишутся в виде

$$M[T_{i,j}] = R_\Pi^{-1} \exp\left\{-\frac{\Delta}{2R_\Pi} \left[\left(\delta_\xi - i\frac{\beta_H}{L}\right)^2 + \left(\delta_\eta - j\frac{\beta_H}{L}\right)^2 \right]\right\}; \quad (16)$$

$$\sigma_{Ti,j} = \left[\left(1 + \Delta^2 \sigma_\xi^4 \frac{R_1^2}{R_2^2}\right) \exp\left\{\frac{\Delta^2 \sigma_\xi^2}{R_3} \left[\left(\delta_\xi - i\frac{\beta_H}{L}\right)^2 + \left(\delta_\eta - j\frac{\beta_H}{L}\right)^2 \right]\right\} - 1 \right]^{1/2}. \quad (17)$$

При выводе (17) учитывалось, что $(\Delta\delta_{\xi}^2)^2 \ll 1$. Применяя к выражению (3) теоремы о числовых характеристиках случайных величин и используя (16), (17), для математического ожидания и дисперсии мощности $P_0^{1,0}$ сигнального пучка, восстановленного из центральной голограммы, имеем

$$M[P_{0,0}^{1,0}] = M[I^{1,0}] R_1^{-1} \exp\left(-\frac{\Delta\delta_{\xi}^2}{R_1}\right); \quad (18)$$

$$D[P_{0,0}^{1,0}] = M^2[P_{0,0}^{1,0}] \{(\sigma_{\eta,I}^{1,0})^2(1 + \sigma_{T_0}^2) + \sigma_{T_0}^2\}, \quad (19)$$

$$\text{где } \sigma_{T_0} \simeq \sigma_{T_0,0} \simeq \Delta\delta_{\xi} \left[\delta_{\xi}^2 \frac{2}{R_3} + \sigma_{\xi}^2 \frac{R_1^2}{R_2^2} \right]^{1/2}; \quad (20)$$

$$\sigma_{\eta,I}^{1,0} = \sqrt{\sigma_{\eta}^2(\sigma^{1,0})^2 + (\sigma^{1,0})^2 + \sigma_{\eta}^2}; \quad \sigma^{1,0} = \frac{\sqrt{D[P_{0,0}^{1,0}]}}{M[I^{1,0}]} — \text{коэффициент вариации}$$

мощности оптических «единицы» и «нуля» в восстановленном изображении без учета перекрестных помех голограмм и смещения восстанавливающего пучка. При выводе (18), (19) учитывалось, что $\delta_{\xi} = \delta_{\eta}$, а $M[\eta_r] = 1$. В предположении $\sigma_{\eta}^2, (\sigma^{1,0})^2, \sigma_{T_0}^2 \ll 1$, что, как правило, хорошо выполняется на практике, из (18), (19) коэффициент вариации

$$\sigma_{\Sigma 0}^{1,0} = \frac{\sqrt{D[P_{0,0}^{1,0}]}}{M[P_{0,0}^{1,0}]} = \sqrt{\sigma_{\eta}^2 + (\sigma^{1,0})^2 + \sigma_{T_0}^2}. \quad (21)$$

Найдем математическое ожидание $M[P_n]$ и дисперсию $D[P_n]$ перекрестных помех голограмм, при этом ограничимся рассмотрением только четырех ближайших соседних голограмм, которые дают основной вклад в ППГ. В этом случае

$$M[P_n] = \sum_{\substack{i,j=-1 \\ i,j \neq 0}}^1 M[P_{i,j}]; \quad (22)$$

$$D[P_n] = \sum_{\substack{i,j=-1 \\ i,j \neq 0}}^1 D[P_{i,j}] + \sum_{\substack{i,j=-1 \\ i,j \neq 0}}^1 \sum_{\substack{i',j'=-1 \\ i',j' \neq 0}}^1 K_{i,j,i',j'}, \quad (23)$$

$$\text{где } K_{i,j,i',j'} = M[(P_{i,j} - M[P_{i,j}]) (P_{i',j'} - M[P_{i',j'}])] \quad (24)$$

— корреляционный момент случайных величин $P_{i,j}$ и $P_{i',j'}$. С учетом (10), (16), а также того, что $\delta_{\xi}^2 = \delta_{\eta}^2 \ll 1$, выражение (22) преобразуется следующим образом:

$$M[P_n] = 4QM[I^1] R_1^{-1} \exp\left(-\frac{\Delta\beta_H^2}{2R_1 L^2}\right) \operatorname{ch}\left(\frac{\Delta\beta_H \delta_{\xi}}{R_1 L}\right). \quad (25)$$

Для расчета $\sum D[P_{i,j}]$ подставим (16) и (17) в (7) и проведем суммирование по четырем соседним голограммам:

$$\begin{aligned} \sum_{i,j=-1}^1 D[P_{i,j}] &= 4Q^2 M^2[I^1] R_1^{-2} \exp\left(-\frac{\Delta\beta_H^2}{R_1 L^2}\right) \times \\ &\times \left\{ \operatorname{ch}\left[2\Delta\delta_{\xi} \frac{\beta_H}{L} \left(\frac{1}{R_1} + \frac{\Delta\sigma_{\xi}^2}{R_3}\right)\right] \sigma_{\Sigma}^2 - \operatorname{ch}\left(2 - \frac{\Delta\delta_{\xi} \beta_H}{R_1 L}\right) \right\}; \end{aligned} \quad (26)$$

$$\sigma_{\Sigma} = \sqrt{(\sigma_{A\eta}^2 + 1)(\sigma_T^2 + 1)}; \quad \sigma_{A\eta} = \sqrt{\sigma_A^2 \sigma_{\eta}^2 + \sigma_A^2 + \sigma_{\eta}^2}; \quad \sigma_T^2 \cong \exp\left(\frac{\Delta^2 \sigma_{\xi}^2 \beta_H^2}{R_3 L^2}\right) - 1.$$

Перепишем (24) для корреляционного момента в виде

$$K_{i,j,i',j'} = Q^2 M^2[I^1] (M[T_{i,j} T_{i',j'}] - M[T_{i,j}] M[T_{i',j'}]). \quad (27)$$

При условии $\xi_0^2, \eta_0^2 \ll h^2$ не равны нулю только два корреляционных момента: $K_{-1,0,1,0}$ и $K_{0,-1,0,1}$. При этом первый член в скобках в (27)

$$M[T_{-1,0}T_{1,0}] = M[T_{0,-1}T_{0,1}] = \exp\left(-\frac{\Delta\beta_H^2}{L^2}\right).$$

Второй член в (27) с использованием (16) примет вид

$$M[T_{-1,0}]M[T_{1,0}] = M[T_{0,-1}]M[T_{0,1}] = R_1^{-2} \exp\left(-\frac{\Delta\beta_H^2}{R_1 L^2}\right).$$

Отсюда

$$\begin{aligned} K_{-1,0,1,0} = K_{0,-1,0,1} &= Q^2 M^2 [I^1] R_1^{-2} \exp\left(-\frac{\Delta\beta_H^2}{R_1 L^2}\right) \times \\ &\times \left\{ R_1^2 \exp\left[-\frac{\Delta\beta_H^2}{L^2} \left(1 - \frac{1}{R_1}\right)\right] - 1 \right\}. \end{aligned} \quad (28)$$

Подставляя (26), (28) в (23), для коэффициента вариации перекрестных помех голограмм $\sigma_\pi = \sqrt{D[P_\pi]M[P_\pi]}$ получим

$$\begin{aligned} \sigma_\pi &= \left[2 \operatorname{ch}\left(\frac{\Delta\delta_\xi\beta_H}{R_1 L}\right) \right]^{-1} \left\{ \operatorname{ch}\left[2\Delta\delta_\xi \frac{\beta_H}{L} \left(\frac{1}{R_1} + \frac{\Delta\sigma_\Sigma^2}{R_3} \right) \right] \times \right. \\ &\times \sigma_\Sigma^2 - \operatorname{ch}\left(2 \frac{\Delta\delta_\xi\beta_H}{R_1 L} \right) + \frac{1}{2} \left[R_1^2 \exp\left[-\frac{\Delta\beta_H^2}{L^2} \left(1 - \frac{1}{R_1}\right)\right] - 1 \right] \left. \right\}^{1/2}. \end{aligned} \quad (29)$$

С учетом (18) и (25) математическое ожидание суммарной мощности сигнала и помехи

$$\begin{aligned} M[P_c^{1,0}] &= M[P_{0,0}^{1,0}] + M[P_\pi] = M[I^{1,0}] \exp\left(-\frac{\Delta\delta_\xi^2}{R_1}\right) \times \\ &\times \left\{ 1 + 4Q \frac{M[I^1]}{M[I^{1,0}]} \exp\left[-\frac{\Delta}{2R_1} \left(\frac{\beta_H^2}{L^2} - 2\delta_\xi^2 \right) \right] \operatorname{ch}\left(\frac{\Delta\delta_\xi\beta_H}{R_1 L}\right) \right\}. \end{aligned} \quad (30)$$

Из (30) контраст в восстановленном изображении

$$K = \frac{M[P_c^1]}{M[P_c^0]} = \frac{1 + 1/K_\pi}{1/K_\pi + 1/K_\pi}, \quad (31)$$

где $K_\pi = \frac{M[P_{0,0}^1]}{M[P_\pi]} = \left\{ 4Q \exp\left(-\frac{\Delta\beta_H^2}{2R_1 L^2}\right) \operatorname{ch}\left(\frac{\delta_\xi \Delta\beta_H}{R_1 L}\right) \right\}^{-1}$ —

контраст перекрестных помех голограмм; $K_\pi = M[I^1]/M[I^0]$ — контраст в восстановленном изображении одной выделенной голограммы.

Наконец, найдем отношение сигнал/шум суммарной мощности сигнала и помехи. В силу независимости случайных величин в (5) дисперсия

$$D[P_c^{1,0}] = D[P_{0,0}^{1,0}] + D[P_\pi], \quad (33)$$

или $D[P_c^{1,0}] = M^2[P_{0,0}^{1,0}] (\sigma_{\Sigma 0}^{1,0})^2 + M^2[P_\pi] \sigma_\pi^2$.

С учетом (30) — (33) выражения для отношений сигнал/шум оптических «единицы» (С/Ш)¹ и «нуля» (С/Ш)⁰ соответственно примут вид

$$(C/\Pi)^1 = 1/\sigma_c^1 = \frac{K_\pi + 1}{K_\pi} \left[\frac{\sigma_\pi^2}{K_\pi^2} + (\sigma_{\Sigma 0}^{1,0})^2 \right]^{-1/2}; \quad (34)$$

$$(C/\Pi)^0 = 1/\sigma_c^0 = \frac{K_\pi + 1}{K_\pi} \frac{K_\pi}{K} \left[\frac{K_\pi^2}{K^2} \sigma_\pi^2 + (\sigma_{\Sigma 0}^0)^2 \right]^{-1/2}, \quad (35)$$

где $\sigma_{\Sigma 0}^{1,0} = \sqrt{\sigma_\pi^2 + (\sigma^{1,0})^2 + \sigma_{T_0}^2}$.

Первый член в (34), (35) обусловлен собственными перекрестными помехами, второй член $\sigma_{\text{пп}}^{1,0}$ связан с разбросом дифракционной эффективности:

$$\left(\frac{C}{III}\right)^1 = \frac{\sigma_{\text{пп}}^{1,0}}{\sigma_{\text{пп}}}; \quad \left(\frac{C}{III}\right)^0 = \frac{1}{\sigma_{\text{пп}}} \left(1 + \frac{1}{K_{\text{пп}}}\right), \quad (36)$$

где $K_{\text{пп}} = \left\{4Q \exp \left[-8 \left(1 - \frac{1}{L^2}\right) \frac{\beta_H^2}{L^2} \right]\right\}^{-1}; \quad \sigma_{\text{пп}} = \frac{1}{2} \sqrt{1/Q - 1}.$

Как следует из (36), отношение $(C/III)^0$ «нулей» при $K_{\text{пп}} \gg K_{\text{пп}}$ определяется хэмминговым весом страницы Q (например, при $Q = 0,5$ и $K_{\text{пп}} = \infty$ $(C/III)^0 = 2$); отношение $(C/III)^1$ «единиц» зависит от контраста $K_{\text{пп}}$ (при $Q = 0,5$ $(C/III)^1 = 2 (K_{\text{пп}} + 1)$). Контраст $K_{\text{пп}}$, в свою очередь, является функцией скважности β_H голограмм в матрице и отношения размеров восстанавливавшего $w_{\text{в}}$ и восстановленного W пучков ($L = w_{\text{в}}/W$). На рис. 2 показаны графики зависимостей K , $(C/III)^1$, $(C/III)^0$ от параметра L при $\beta_H = 1,6$; $Q = 0,5$; $\delta_{\xi} = \sigma_{\xi} = 0$; $\sigma_{\eta} = \sigma_{\eta}^{1,0} = 0$; $K_{\text{пп}} = \infty$. Отношение сигнал/шум «нулей» $(C/III)^0$ не зависит от L и равно 2. Параметр $(C/III)^1$ повторяет ход кривой контраста и превосходит его по величине в 2 раза. Контраст K достигает максимума при $L = \sqrt{2}$. Оптимальное значение параметра L , равное $\sqrt{2}$, следует из условия экстремума функции контраста $dK_{\text{пп}}/dL = 0$. Физически экстремальный характер зависимости $K_{\text{пп}}(L)$ объясняется тем, что при $L \rightarrow \infty$ размер восстанавливавшего $w_{\text{в}}$ пучка много больше размера голограммы w_r ($\frac{1}{w_r^2} = \frac{1}{w_c^2} + \frac{1}{w_0^2}$) (рис. 3, а) и в этом случае «хвосты» восстанавливавшего гауссова пучка восстанавливают соседние голограммы. При $L \rightarrow 1$, наоборот, размер голограммы w_r много больше размера восстанавливавшего пучка ($w_r \gg w_{\text{в}}$) (рис. 3, б), что приводит к значительному перекрытию гауссовых голограмм. И в том и в другом случае наблюдается высокий уровень перекрестных помех голограмм. Компромисс (максимум контраста $K_{\text{пп}}$) достигается, когда размер восстанавливавшего пучка равен размеру голограммы $w_{\text{в}} = w_r$ (рис. 3, в).

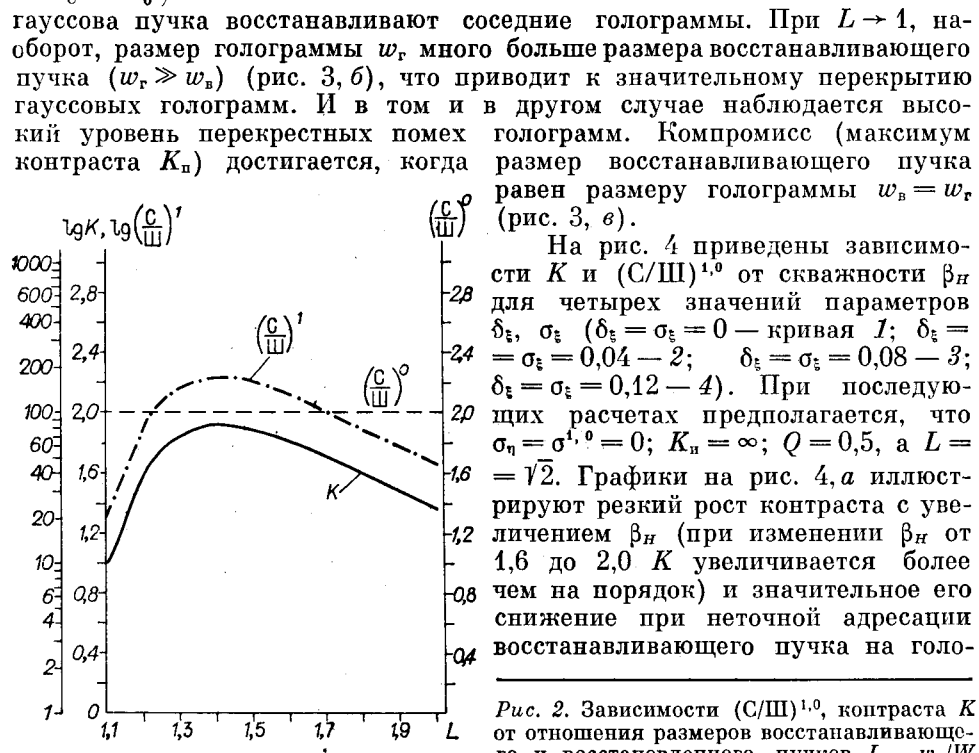


Рис. 2. Зависимости $(C/III)^1,0$, контраста K от отношения размеров восстанавливавшего и восстановленного пучков $L = w_{\text{в}}/W$

На рис. 4 приведены зависимости K и $(C/III)^1,0$ от скважности β_H для четырех значений параметров δ_{ξ} , σ_{ξ} ($\delta_{\xi} = \sigma_{\xi} = 0$ — кривая 1; $\delta_{\xi} = \sigma_{\xi} = 0,04$ — 2; $\delta_{\xi} = \sigma_{\xi} = 0,08$ — 3; $\delta_{\xi} = \sigma_{\xi} = 0,12$ — 4). При последующих расчетах предполагается, что $\sigma_{\eta} = \sigma_{\eta}^{1,0} = 0$; $K_{\text{пп}} = \infty$; $Q = 0,5$, а $L = \sqrt{2}$. Графики на рис. 4, а иллюстрируют резкий рост контраста с увеличением β_H (при изменении β_H от 1,6 до 2,0 K увеличивается более чем на порядок) и значительное его снижение при неточной адресации восстанавливавшего пучка на голо-

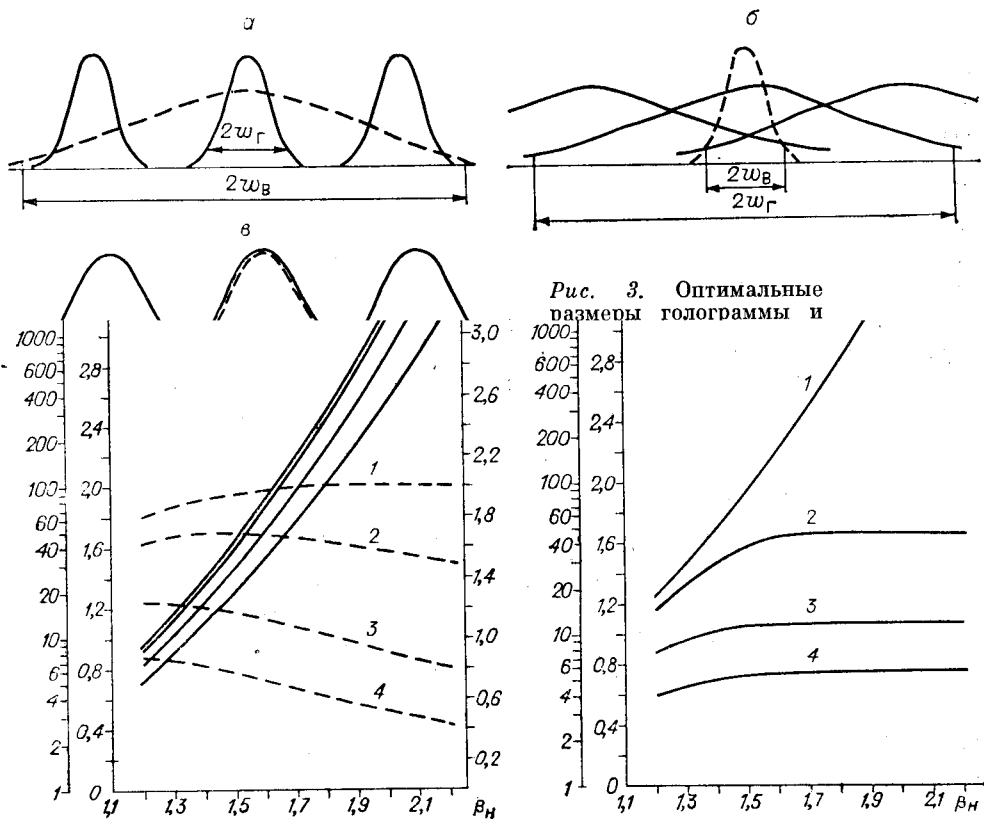


Рис. 4. Зависимости $(C/\Pi)^0$, K (а) и $(C/\Pi)^1$ (б) от скважности голограмм в матрице β_H .

грамм. Например, для $\beta_H = 1,8$ контраст с 327 в первом случае (рис. 4, а, кривая 1) падает до 279 во втором (кривая 2), 182 в третьем (кривая 3) и 102 в четвертом (кривая 4). Отношение сигнал/шум «единиц» и «нулей» слабо меняется от скважности голограмм в матрице β_H . Исключением является зависимость $(C/\Pi)^1$ от β_H при $\delta_\xi = \sigma_\xi = 0$ (кривая 1, рис. 4, б), которая повторяет ход кривой контраста. Однако $(C/\Pi)^1$ и $(C/\Pi)^0$ быстро падают с увеличением погрешности адресации восстанавливающего пучка на голограмму. При этом $(C/\Pi)^1$ определяется вторым членом в (34) и в случае $\sigma_\eta = \sigma^1 = 0$ и $\beta_H \geq 1,5$ дается выражением

$$\left(\frac{C}{\Pi}\right)^1 \simeq 1/\sigma_{T_0} = \left\{ \Delta\sigma_\xi \sqrt{\delta_\xi^2 \frac{2}{R_3} + \sigma_\xi^2 \frac{R_1^2}{R_2^2}} \right\}^{-1}. \quad (37)$$

Если среднее смещение восстанавливающего пучка δ_ξ равно нулю, то вместо (37) получим

$$\left(\frac{C}{\Pi}\right)^1 = \frac{R_2}{R_1} \frac{1}{\Delta\sigma_\xi^2} \simeq 1/\Delta\sigma_\xi^2. \quad (38)$$

Отношение $(C/\Pi)^0$ изменяется в соответствии с выражением (35), которое при $K_n \gg K_\eta$, $\sigma_\eta = \sigma^0 = 0$ принимает вид $(C/\Pi)^0 = 1/\sigma_n$. С учетом (29) отношение $(C/\Pi)^0$ для двух крайних случаев: 1) $\sigma_\xi = 0$, $\delta_\xi \neq 0$;

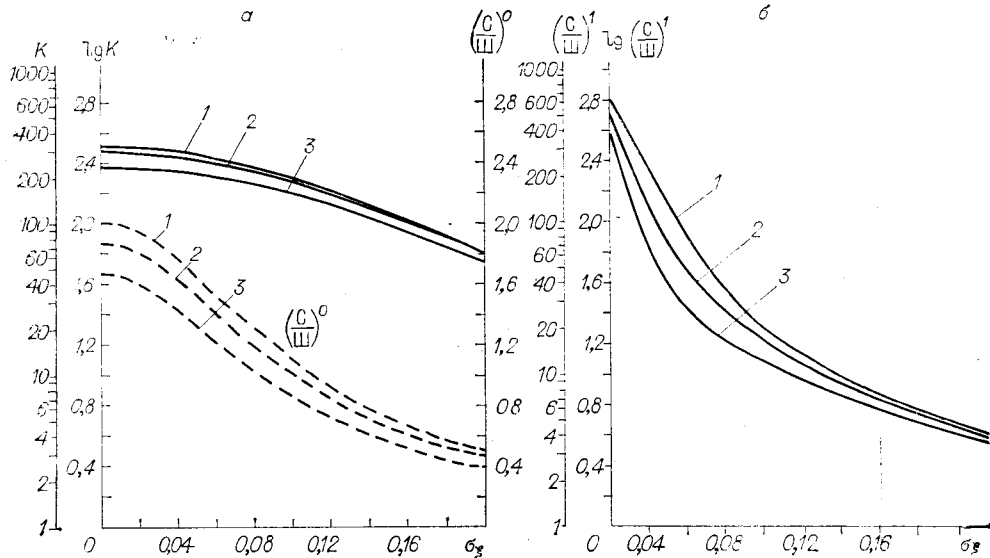


Рис. 5. Зависимости $(C/III)^0$, K (а) и $(C/III)^1$ (б) от коэффициента вариации смещения восстанавливющего пучка σ_z

2) $\sigma_z \neq 0$, $\delta_\xi = 0$ — соответственно записывается в виде

$$\left(\frac{C}{III}\right)^0 = 2 \left(\frac{1}{Q} - 1\right)^{-1/2} \frac{\operatorname{ch}(\Delta \delta_\xi \beta_H / L)}{\sqrt{\operatorname{ch}(2 \Delta \delta_\xi \beta_H / L)}}; \quad (39)$$

$$\left(\frac{C}{III}\right)^1 = 2 \left\{ \frac{1}{Q} \exp\left[\frac{\Delta^2 \delta_\xi^2 \beta_H^2 / L^2}{1 + 3 \Delta \delta_\xi^2}\right] - 1 \right\}^{-1/2}. \quad (40)$$

Графики на рис. 5, где приведены зависимости K , $(C/III)^1$, $(C/III)^0$ от σ_z для трех значений δ_ξ ($\delta_\xi = 0$ — кривая 1; $\delta_\xi = 0.04$ — 2; $\delta_\xi = 0.08$ — 3) для $\beta_H = 1.8$, демонстрируют резкое падение отношения сигнал/шум «единиц» и «нулей» с ростом флюктуаций σ_z положения восстанавливющего пучка в соответствии с выражениями (38) и (40). Например, при изменении σ_z от 0 до 0,4 $(C/III)^1$ уменьшается в 50 раз (рис. 5, б), а $(C/III)^0$ — в 2 раза (рис. 5, а).

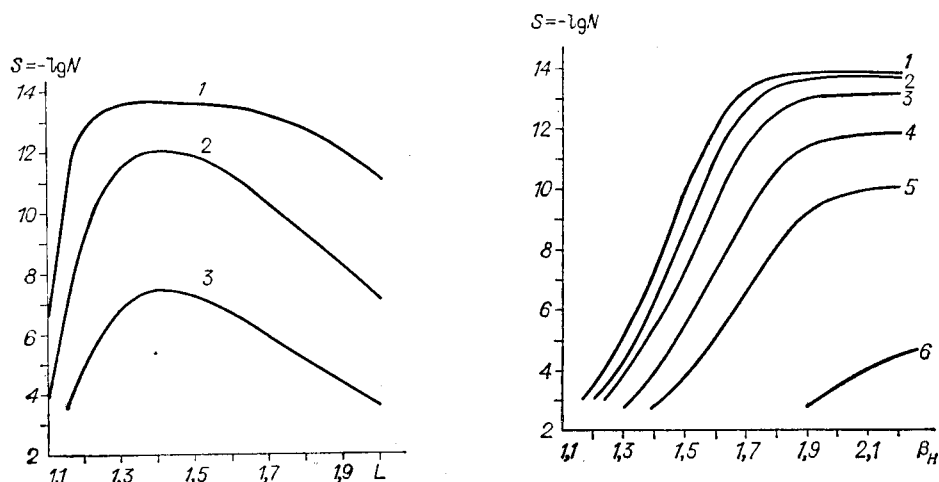
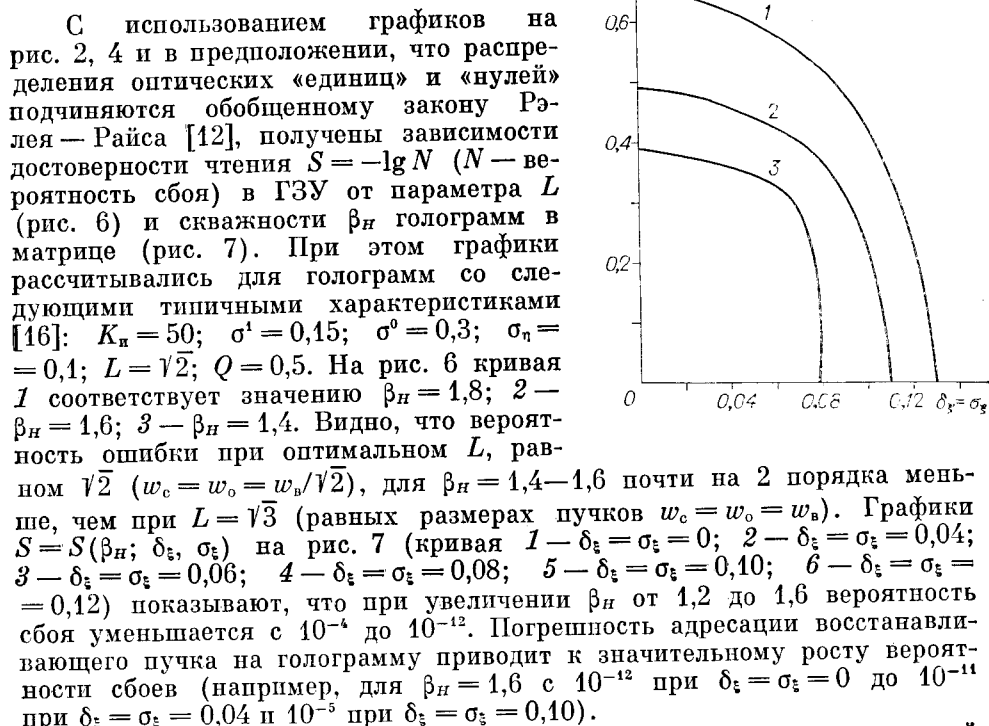


Рис. 6. Зависимости достоверности чтения S от отношения размеров восстанавливющего и восстановленного пучков L

Рис. 7. Зависимости достоверности чтения S от скважности голографм в матрице β_H

Рис. 8. Зависимости относительной средней плотности записи данных $\langle n \rangle / \langle n_0 \rangle = 1/\beta_H^2$ от $\sigma_\xi (\delta_\xi = \sigma_\xi)$



На основе графиков на рис. 7 построены зависимости относительной средней плотности записи $\langle n \rangle / \langle n_0 \rangle = (1/\beta_H)^2$ от $\sigma_\xi (\delta_\xi = \sigma_\xi)$ (рис. 8) для вероятности сбоев в ГЗУ $N = 10^{-4}$ (кривая 1); 10^{-8} (кривая 2); 10^{-12} (кривая 3). Из графиков следует, что при изменении плотности записи меньше, чем в 2 раза (с 0,39 до 0,66), вероятность сбоев увеличивается на 8 порядков. Уменьшение плотности записи из-за погрешности адресации восстанавливающего пучка будет незначительным (меньше 10%), если $\delta_\xi = \sigma_\xi < 5\%$.

Заключение. Получены аналитические выражения и графики зависимостей для статистических характеристик восстановленного изображения в плоскости фотоматрицы, а также достоверности чтения в ГЗУ с учетом перекрестных помех, создаваемых соседними голограммами, и погрешности адресации восстанавливающего пучка.

Установлено, что минимальная вероятность сбоев в ГЗУ достигается, когда размер восстанавливающего пучка равен размеру голограммы $w_b = w_r$ ($L = \sqrt{2}$).

Показано, что при скважности голограмм в матрице $\beta_H \geq 1,6$ в отсутствие aberrаций восстанавливающего пучка вероятность сбоев в ГЗУ меньше 10^{-12} . Для заданной достоверности чтения в случае, когда среднее смещение и среднеквадратическое отклонение восстанавливающего пучка меньше 5% от его диаметра, плотность записи падает меньше, чем на 10%.

ЛИТЕРАТУРА

1. Hill B. Some aspects of large capacity holographic memory // Appl. Opt.—1972.—V. 11, N 1.—P. 182—196.
2. Гибин И. С. Расчет и выбор параметров оптических систем голограммных запоминающих устройств // Автометрия.—1974.—№ 6.
3. Акаев А. А., Майоров С. А. Когерентные оптические вычислительные машины.—Л.: Машиностроение, 1977.

4. Киш Г. Влияние несовершенств оптической системы на вероятность сбоев голографического запоминающего устройства // Квантовая электрон.— 1984.— Т. 11, № 10.
5. Домбровский В. А., Домбровский С. А., Пен Е. Ф. Влияние дифракционного фона на качество восстановленного изображения в ГЗУ // Труды IV Всесоюз. конф. по голографии.— Ереван: ВНИИРИ, 1982, т. 2.
6. Hill B. Point efficiency and signal-to-background ratio in exponential holograms for optical memories // Appl. Opt.— 1972.— V. 11, N 12.— P. 2937.
7. Пен Е. Ф. Исследование качества записи и воспроизведения изображений страниц двоичной информации в голографических ЗУ (ГЗУ) // Тез. докл. I Всесоюз. конф. по радиооптике.— Фрунзе: ФПИ, 1981.
8. Lee Wai-Hon. Effect of film-grain noise on the performance of holographic memory // JOSA.— 1972.— V. 62, N 6.— P. 797.
9. Домбровский В. А., Домбровский С. А., Пен Е. Ф. Исследование помехоустойчивости фурье-голограмм в ГЗУ // Автометрия.— 1985.— № 4.
10. Богданова Е. С., Соскин С. И. Влияние aberrаций оптической системы на емкость голографической памяти // Автометрия.— 1975.— № 3.
11. Соскин С. И., Шайдин С. А. Оптимизация параметров голографического запоминающего устройства с учетом aberrаций // Опт. и спектр.— 1978.— Т. 44, № 6.
12. Пен Е. Ф. Расчет достоверности считывания информации в ГЗУ на основе экспериментальных данных характеристик восстановленных изображений // Труды IV Всесоюз. конф. по голографии.— Ереван: ВНИИРИ, 1982, т. 2.
13. Блок А. А. и др. Устройство автоматической записи матриц голограмм цифровых данных // Автометрия.— 1984.— № 3.
14. Ванюшев Б. В. и др. Устройство хранения и считывания цифровых данных в голографической системе архивной памяти // Автометрия.— 1984.— № 3.
15. Вентцель Е. Ф. Теория вероятностей.— М.: Наука, 1969.
16. Блок А. А., Домбровский В. А., Домбровский С. А., Пен Е. Ф. Экспериментальные исследования достоверности считывания данных в голографических ЗУ // Автометрия.— 1984.— № 3.

Поступила в редакцию 28 февраля 1986 г.

УДК 621.372.8.029.7

**Н. В. ГУСАК, А. В. МИРОНОС, В. Л. СМИРНОВ, В. И. СОЛДАТОВ
(Москва)**

ОБ ОДНОЙ МЕТОДИКЕ ФОРМИРОВАНИЯ ВЫСОКОЭФФЕКТИВНЫХ ФОКУСИРУЮЩИХ ВОЛНОВОДНЫХ ГОЛОГРАММ НА СЛОЯХ ХАЛЬКОГЕНИДНЫХ СТЕКОЛ

Данная работа посвящена вопросам формирования высокоэффективных безабберационных голографических линз, необходимость создания которых обусловливается широкими перспективами применения их в интегральной оптике в качестве базовых элементов интегрально-оптических процессоров [1, 2], в волноводной голографии [3] как элементов ввода и вывода, а также в качестве элементов когерентных оптических вычислительных машин [4].

В работах [5, 6] показано, что голографические фокусирующие элементы такие, например, как геодезические линзы, брэгговские линзы, обладают большими aberrациями [5, 6] и, кроме того, ввиду модовой селективности не всегда могут быть использованы для фурье-анализа [7]. Наряду с этим перечисленные фокусирующие элементы сложны в изготовлении. Таким образом, перспективным направлением создания фокусирующих элементов для интегральной оптики, по-видимому, следует считать метод оптической записи фокусирующих голографических элементов (ФГЭ). Однако перспективность ФГЭ в большой степени зависит от выбора фоточувствительного материала для записи. Так, в [8] исследовались aberrационные свойства синтезированных на ЭВМ фокусирующих голограмм; установлено, что величина aberrаций резко уменьшается при увеличении разрешающей способности фоточувствительного